部材両端をステンレス鋼とした鋼製H形断面柱の圧縮強度特性

長岡工業高等専門学校 学生会員 〇堀澤 英太郎 長岡工業高等専門学校 正会員 宮嵜 靖大

1. はじめに

高耐食性材料であるステンレス鋼は、炭素鋼に比べて高価なため、これにより構造物の高耐久化を図る場合、初期費用の増大が懸念される.このような長期間供用された鋼橋の劣化要因の一つは腐食であり、桁端部やトラス格点部で多く発生している.このような腐食環境の厳しい箇所をステンレス鋼、その他を炭素鋼とした断面構成や部材配置が有効であると考える.そこで本研究では、部材両端をステンレス鋼、その他を炭素鋼とした H 形断面柱の圧縮強度特性を数値計算 1)により明らかにする.

2. 数值計算法

本研究で対象とする材料は、炭素鋼 SM400 および SM570、ステンレス鋼 SUS304、SUS329J4L および SUS323L である. 表 1 は、対象材料の機械的性質 $^{2),3)}$ を示す。同表中の記号は、E がヤング係数を、 σ_{V} が炭素鋼における降伏応力を、 $\sigma_{0,2}$ および $\sigma_{0,01}$ がステンレス鋼における 0.2%耐力および 0.01%耐力を、v がポアソン比をそれぞれ意味する。図 1 は、材料試験により得られた対象材料の応力ひずみ関係を示す $^{2),3)}$. 数値計算では、塑性開始点を炭素鋼で降伏応力、ステンレス鋼で 0.01%耐力とする応力塑性ひずみ関係を使用する。図 2 は、対象とする H 形断面柱を示す。柱の部材長 L、フランジおよび腹板の板厚 t_{V} および t_{W} は、式(1)の細長比パラメータ $\overline{\lambda}$ および式(2)の幅厚比パラメータ $\overline{\lambda}_{p}$ により決定する.

$$\overline{\lambda} = \frac{1}{\pi} \sqrt{\frac{\sigma_F}{E}} \frac{L}{r} \tag{1}$$

$$\overline{\lambda_p} = \left(\frac{b}{2t_f} \text{ or } \frac{h}{t_w}\right) \sqrt{\frac{\sigma_F}{E} \frac{12(1 - v^2)}{\pi^2 k}}$$
 (2)

ここで、 σ_F は設計基準強度(炭素鋼では σ_{y} 、ステンレス鋼では $\sigma_{0.2}$)、r は断面 2 次半径、k は座屈係数(腹板:=4、フランジ:=0.425)である.なお、 $\overline{\lambda}$ は 0.1 から 1.9 まで 0.2 刻みで変化させ て部材長 L を決定し、 $\overline{\lambda_p}$ は局部座屈を防ぐため、0.3 として板厚 t_f および t_w を決定する.また、初期不整は初期たわみおよび残留 応力を考慮する.初期たわみは、柱全体モードの \sin 半波形を Y 軸方向(弱軸回り)に与える.つぎに、残留応力は自己平衡を保 つ矩形分布とし、同図中に示す大きさで与える.そして、柱の境 界条件は両端単純支持とし、X 軸方向に強制変位 U を与える.

表 1 対象材料の機械的性質^{2),3)}

鋼種	E (GPa)	σ _y (MPa)	σ _{0.2} (MPa)	σ _{0.01} (MPa)	v
SM400	200	249	-	-	0.30
SM570	206	504	1	-	0.30
SUS304	157	-	261	146	0.30
SUS329J4L	191	-	525	319	0.20
SUS323L	207	-	556	396	0.22

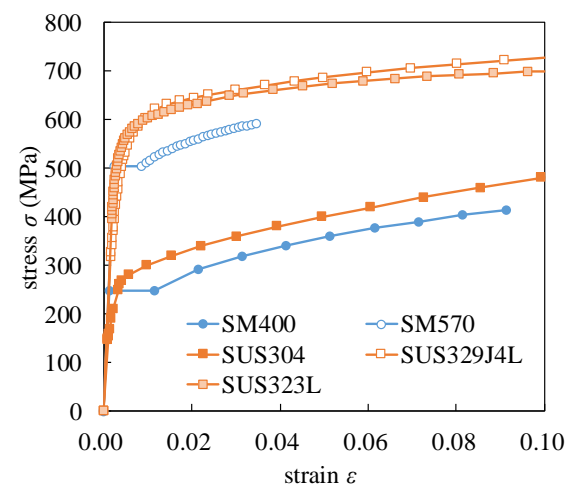
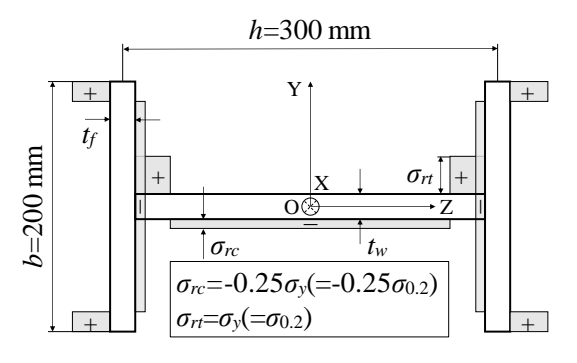
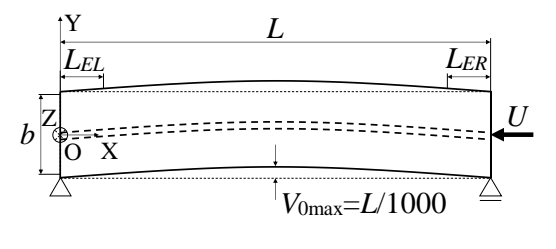


図1 対象材料の応力ひずみ関係 2),3)



(a) 断面図



(b) 側面図

図2 H形断面柱

キーワード ステンレス鋼, H 形断面柱, ハイブリッド部材, 終局圧縮強度 連絡先 〒940-8532 新潟県長岡市西片貝町 888 長岡工業高等専門学校 TEL. 0258-34-9439 また, H 形断面柱の有限要素離散化には 8 節点アイソパラメトリックシェル要素を用いる. これらの数値計算は, 汎用非線形有限要素解析プログラム MARC¹⁾を使用する.

表 2 は、本研究で対象とする H 形断面柱を構成する材料の組み合わせを示す。同表中のモデル名は、柱中央部材および柱両端部材の順に、柱を構成する材料を表している。ここで、部材両端をステンレス鋼としたハイブリット柱は、柱全体長さ L に対する両端部の長さ($L_{EL}+L_{ER}$)の比を 0.1 から 0.5 まで 0.1 刻みで変化させる.

3. 数值計算結果

図 3 は、柱の終局圧縮強度と細長比パラメータの関係を示す。なお、紙面の都合上 SM400 と SUS304 の組み合わせの結果のみを記載している。同図の縦軸は、数値計算で得られた柱の終局圧縮荷重 P_u を設計基準強度時の荷重 P_F で無次元化した値である。同図より、 $\bar{\lambda}$ =0.1 を除くハイブリッド柱の終局圧縮強度は、柱全体に対するステンレス鋼の割合の増大に伴い小さくなり、SM400 のみの柱の約 87%となることがわかる。これは、ステンレス鋼が早期に塑性化し、剛性の低下により変形が増大するためである。一方、柱全体に対するSUS304 の割合が 30%以下の全てのハイブリッド柱の終局圧縮強度は、SM400 のみの柱の 95%以上となることが確認できる。

図 4 は、柱全体に対するステンレス鋼の割合が 50%のハイブリッド柱の終局圧縮強度および既往の耐荷力曲線 $^{4),5)$ を示す。同図より、対象としたいずれの鋼種のハイブリッド柱の終局圧縮強度は、既往の耐荷力曲線よりも安全側となることがわかる。また、 $\overline{\lambda}$ =0.1 を除く SM40-304-0.5 の終局圧縮強度は、道路橋示方書の耐荷力曲線の平均で 107%となる。

4. おわりに

本研究では、部材両端をステンレス鋼とした H 形断面柱 の圧縮強度特性を数値計算により明らかにした. これにより、対象とした柱全体に対するステンレス鋼の割合が 50% 以下のハイブリッド柱の終局圧縮強度は、既存の設計基準類の耐荷力評価にて、安全側となることを確認できた. 最後に、本研究は平成 29 年度ユニオンツール育英奨学会研究助成により実施したものである. ここに記して謝意を表する.

表 2 材料の組み合わせ

モデル名	柱中央の 材料	柱両端の 材料	ステンレス鋼 の割合	
SM40-304- 0.1,0.2,0.3,0.4,0.5	SM400	SUS304		
SM57-J4L- 0.1,0.2,0.3,0.4,0.5	SM570	SUS329J4L	0.1~0.5 (0.1 刻み)	
SM57-323- 0.1,0.2,0.3,0.4,0.5	SM570	SUS323L		
SM40	SM400			
SM57	SM570			
304	SUS304		-	
J4L	SUS	329J4L		
323	SUS	3323L		

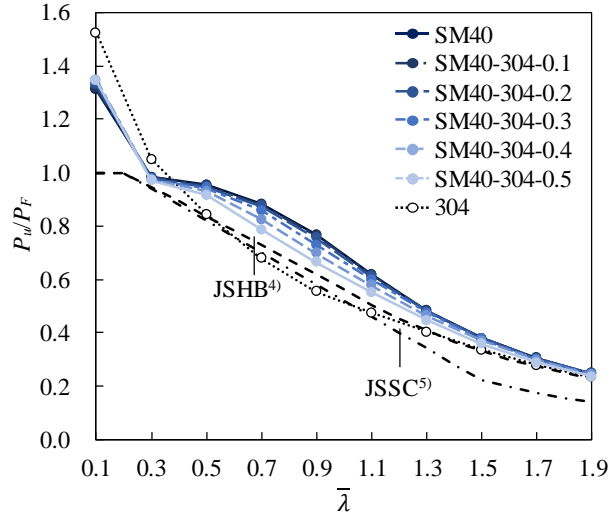


図3 終局圧縮強度と細長比パラメータの関係

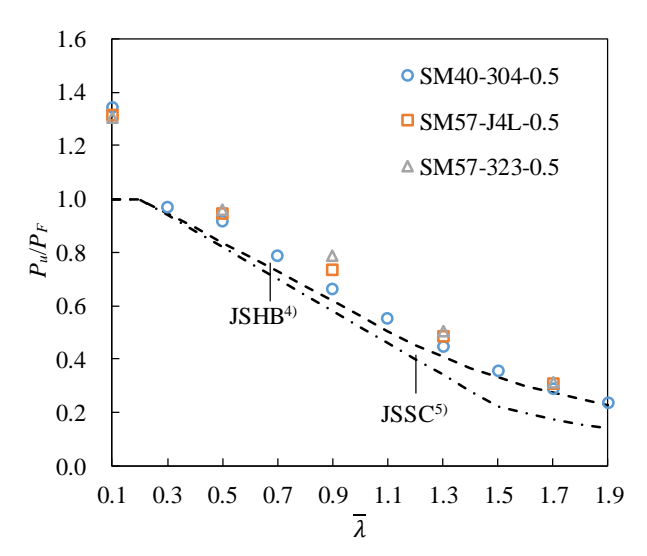


図 4 既往の耐荷力曲線との比較

参考文献

1) MSC. Software Co.: Marc User's Guide, MSC. Software Corporation, 2017. 2) 宮嵜靖大, 奈良敬:無補剛ステンレス鋼圧縮板の座屈照査法, 構造工学論文集, Vol.56A, pp.122-134, 2010. 3) 佐藤信輔, 宮嵜靖大:静的引張試験による二相系ステンレス鋼の材料特性,鋼構造年次論文報告集,第 24 巻, pp.297-304, 2016. 4) 日本道路協会:道路橋示方書・同解説, II 鋼橋・鋼部材編,日本道路協会,2017. 5) ステンレス構造設計基準作成委員会:ステンレス建築構造設計基準・同解説(第 2 版),ステンレス構造建築協会,1995.